

Криштапа С.І.

Івано-Франківський національний
технічний університет нафти і газу,
м. Івано-Франківськ, Україна
E-mail: retes@mail.ru

ОЦІНКА ЕНЕРГОНАВАНТАЖЕНОСТІ ПЛЯМ КОНТАКТІВ МІКРОВИСТУПІВ МЕТАЛОПОЛІМЕРНИХ ПАР ТЕРТЯ ТРИБОСИСТЕМ

УДК 621.891

Проілюстрована оцінка енергонавантаженості плям контактів мікровиступів металополімерних пар тертя трибосистем за допомогою визначення зовнішніх і внутрішніх їхніх параметрів. Визначення останніх проводилось на мікро- і наноенергетичних рівнях поверхневих і підповерхневих шарів трибоспряженів.

Ключові слова: металополімерні пари тертя, трибоспряження, трибосистема, енергетичні рівні, пляма контакту мікровиступу, поверхневий і підповерхневий шари, робота виходу електронів і іонів.

Вступ

Розрізнені дані про енергонавантаженість металополімерних пар тертя трибосистем вимагають оцінки не тільки зовнішніх експлуатаційних параметрів (нормальног зусилля; динамічного коефіцієнта тертя; поверхневих і об'ємних температур; механічних і термічних напружень і ін.), але і внутрішніх параметрів (роботи виходу електронів і іонів; рівнів Фермі; густини зарядів; Дебаєвської довжини екраниування; фазових перетворень; різного роду електричних струмів і ін.) Останні в значній мірі впливають на енергетичні рівні поверхневих і підповерхневих шарів трибоспряженів.

Мета роботи – обґрунтувати метод оцінки енергонавантаженості плям контактів мікровиступів металополімерних пар тертя трибосистем на мікро- і нанорівнях.

Стан проблеми

Специфіка полімерних матеріалів полягає в тому, що їх робота в трибоспряженнях супроводжується процесами трибоелектризації, дифузії [1, 2], а також деструкції з утворенням різних фаз, які повертаючись в первинний стан мають інші енергетичні рівні поверхневих і підповерхневих шарів. Одержані таким чином хімічно активні продукти взаємодіють з шорсткими плямами контактів мікровиступів металевого елементу. Відомо що пара тертя «полімер-метал» має різну енергонавантаженість при фрикційній взаємодії трибоспряження. Поверхневий і підповерхневий шари полімерної накладки є накопичувачами зарядів, об'єм і властивості яких змінюються залежно від їхньої енергонавантаженості. Остання в значній мірі впливає на механічне, електричне і теплове поля. Що стосується металевого фрикційного елементу з мікровиступами плям контактів, то він є акумулятором теплової енергії. Крім того, мікровиступи контактів металевого елементу беруть активну участь у формуванні ланцюгів мікроконденсаторів і мікротермоелектробатарей [3]. Виходячи з вищевикладеного і є актуальнюю оцінка енергонавантаженості плям контактів мікровиступів металополімерних пар тертя трибосистем.

Постановка задачі

У даній публікації розглянуті наступні питання стосовно даної проблеми:

- визначення внутрішніх і зовнішніх параметрів в енергетичних полях металополімерних пар тертя в трибосистемах;
- робота виходу електронів і іонів з поверхонь фрикційного металополімерного трибоспряження;
- енергонавантаженість дискретного контакту мікровиступів металополімерних пар тертя трибосистем.

Визначення внутрішніх та зовнішніх параметрів в енергетичних полях металополімерних пар тертя в трибосистемах

Метод визначення внутрішніх параметрів в енергетичних полях металополімерних пар тертя в трибосистемах базується на підтримці допустимих градієнтів фізико-механічних властивостей матеріалів пар тертя, які перебувають під дією полів: механічного, електричного, електромагнітного, теплового, хімічного. При цьому необхідно оцінити:

- роботу виходу електронів та іонів з металополімерного трибоспряження;
- енергетичні рівні різних типів контактів мікровиступів пар тертя трибосистеми [7];
- поляризаційні та деполяризаційні процеси на плямах контактів мікровиступів металополімерного трибоспряження [5, 6];
- енергетичні рівні поверхневих та підповерхневих шарів матеріалів пар тертя трибосистеми [8].

У реальних умовах металополімерні пари тертя піддаються наступним термічним навантаженням: імпульсне нагрівання і повільне природне охолодження; нагрівання і охолодження з високим темпом; повільне нагрівання і вимушене охолодження; нагрівання і охолодження з малим темпом. Темпи нагрівання, природного і вимушеного охолодження робочих поверхонь металополімерних пар тертя гальмівних пристрій і визначають їхні електротермостимульовані процеси поляризації і деполяризації.

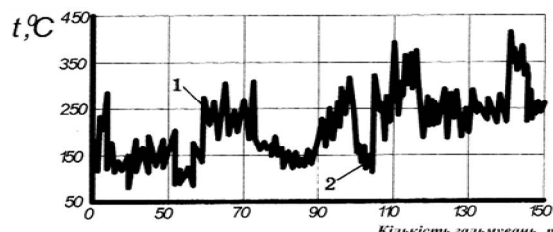


Рис. 1 – Зміна температур фрикційних накладок гальмівних механізмів автобуса ЛАЗ-695 при гальмуванні на маршруті Севастополь – Ялта (за даними Б.Б. Генбома)

Вивчення в часі залежностей зміни динамічного коефіцієнта тертя фрикційних вузлів гальмівних пристрій (рис. 2) дозволяє оцінити динамічну картину загального балансу підведеної і відведеної від трибосистеми енергії.

Зовнішня робота, що підводиться до трибосистеми, затрачується на пружну і пластичну деформацію поверхневих шарів і на утворення мікротермоелектробатарей. Останні працюють в режимах мікротермоелектрогенераторів і мікротермоелектрохолодильників, сприяючи прямому нагріванню і охолодженню поверхневих і підповерхневих шарів елементів тертя гальмівних пристрій. Інші види трансформації механічної енергії при низьких швидкостях ковзання елементів тертя гальм є несуттєвими (наприклад, випромінювання). Робота тертя залежить від площи фактичного контакту і від фізико-механічних і хімічних властивостей поверхневих і підповерхневих шарів матеріалів пари тертя гальмівних пристрій, які в процесі тертя порівняно повільно збільшують та зменшують свою міцність. Тому частина кривої 2 (рис. 2) динамічного коефіцієнта тертя, яка описується низькочастотною складовою, пов'язана з механічною енергією, що поступає в трибосистему. Остання затрачується на її перерозподіл і забезпечення роботи мікротермобатарей, які генерують електричну енергію з подальшим її перетворенням в теплову в підповерхневих шарах елементів тертя фрикційних вузлів гальмівних пристрій.

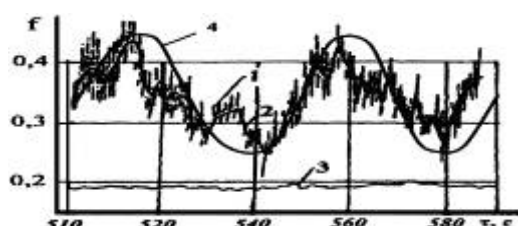


Рис. 2 – Закономірності зміни в часі (τ) динамічного коефіцієнта тертя (f) для пари «метал – полімер» (при $p = 0,3 \text{ МПа}$, $V = 0,6 \text{ м/с}$);
1, 2 – високочастотна і низькочастотна складові «сухого» тертя;
3 – крива при «мокрому» терті;
4 – систематизована синусоїdalна крива (за даними Д.О. Вольченко)

Природа високочастотної складової (див. рис. 2, крива 1) пов'язана з дискретністю контакту, а високочастотні піки динамічного коефіцієнта тертя відповідають енергетичним процесам, що відбуваються миттєво в контактах поверхневих шарів, які виступають джерелом теплоти і холоду за рахунок генерації в них прямих і зворотних струмів. Криві 1, 2 і 3 (див. рис. 2) містять інформацію про вплив напряму струму, що генерується в парах тертя «полімер-метал», на величину динамічного коефіцієнта тертя. При проходженні прямих мікрострумів від робочої поверхні обода гальмівного барабана до анодно-поляризованих ділянок робочих поверхонь фрикційних накладок f виявляється завжди більше (рис. 2, інтервали часу 510 - 520 с і 550 - 570 с для кривих 1 і 2, відповідно), ніж на катодно-поляризованих ділянках з температурою, що перевищує допустиму. При цьому виникають зворотні мікроструми (рис. 2, інтервал часу 510 - 580 с для кривої 3). Причому у всіх випадках f знижується із збільшенням густини струму j_n при замиканні пари тертя. Динамічний коефіцієнт тертя катодно-поляризованих ділянок робочої поверхні фрикційних накладок завжди менше динамічного коефіцієнта тертя їх анодно-поляризованих ділянок, тобто ($f_a > f_k$), при зростанні j_n він змінюється для різних матеріалів по-різному [4].

Таким чином, переполяризація ділянок робочих поверхонь фрикційних накладок в парах тертя гальмівних пристрій викликає інверсію мікрострумів і зміну їх величин і, як наслідок, зміну динамічного коефіцієнта тертя, що характеризує енергетичні процеси в поверхневих і підповерхневих шарах елементів тертя. Стосовно струмів омидаючого повітря робочих поверхонь пар тертя гальмівних пристрій, то його характеристики теж мають хвилювий природу (див. рис. 3, а, б, в).

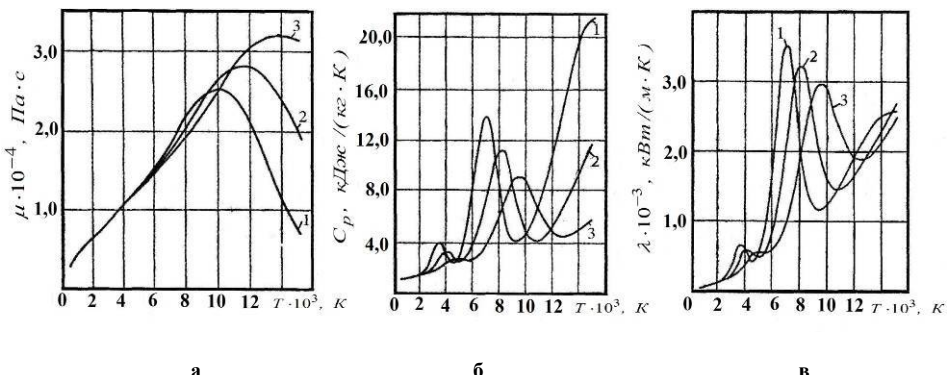


Рис. 3 – Закономірності зміни в'язкості (а), теплосмінності (б)
і тепlopровідності (в) повітря в залежності від його температури при різних тисках:
1 – $P = 0,1$ МПа; 2 – $P = 1,0$ МПа; 3 – $P = 10,0$ МПа (за даними В.К. Кошкина)

Згідно методу електродинамічного встановлення закономірностей зміни експлуатаційних параметрів металополімерних пар тертя стрічково-колодкового гальма бурової лебідки видно, що при контактно - імпульсній взаємодії робочих поверхонь гальмівних шківів та фрикційних накладок на їхніх плямах контакту генеруються електричні струми. Останні описуються синусоїdalним законом зміни плоскої електромагнітної хвилі при тлючому та іскровому розрядах. Закономірності зміни експлуатаційних параметрів пар тертя в часі відбуваються з різними амплітудами, які описуються для: імпульсних питомих навантажень періодом π ; динамічного коефіцієнта тертя – періодом 2π ; зміни поверхневих напружень в матеріалі ободу шківа, що викликані температурами спалаху та температурними градієнтами – періодом π ; нагрівання та вимушеної охолодження поверхневих температур – періодом $\pi/2$; солітонів-імпульсів, що виникають в міжконтактному зазорі пар тертя, з різною довжиною хвилі – періодом $\pi/2$; зносу робочих поверхонь спріяжених пар тертя – періодом π . Закономірності зміни експлуатаційних параметрів пар тертя стрічково-колодкових гальм бурових лебідок описуються різними амплітудами з періодами від $\pi/2$ до 2π на основі електродинамічної теорії тертя та зносу.

Робота виходу електронів та іонів з поверхонь фрикційної взаємодії металополімерного трибоспряження

Мілітробологічний рівень експериментальних досліджень включає оцінку енергонавантаженості поверхневих і підповерхневих шарів металополімерних пар тертя гальмівних пристрій. Розглянемо зв'язок роботи виходу електронів і іонів з робочих поверхонь металополімерних пар тертя і їх поверхневої температури від питомих навантажень, діючих на плямі контактів мікровиступів (рис. 4, а, б, в, г). При цьому поверхневі температури полімерних накладок були нижче (рис. 4, а, б, в) і вище (рис. 4, г) допустимої для їх матеріалів, не дивлячись на те, що в контактах взаємодії температури були однаковими.

Проведемо аналіз температур, що виникають на поверхнях плям мікровиступів при різних типах контактів в процесі фрикційної взаємодії (рис. 4). Ділянка I відповідає, в основному, області пружної деформації поверхневих шарів матеріалів елементів тертя, а ділянки II і III – переважно області пластичних деформацій, в яких мають місце процеси без із насиченою густинною дислокацій. Ділянка I на рис. 4, в зміщена вліво, а на рис. 4, г ділянка I взагалі відсутня, зливаючись з ділянкою II.

Пояснюється це тим, що в першому випадку починаються деструктивні процеси вигоряння зв'язуючих компонентів матеріалів поверхневих шарів полімерної накладки і утворення плям рідини на її поверхні, а в другому випадку деструктивні процеси закінчуються із збільшенням кількості плям рідини на робочій поверхні полімерної накладки. Третя ділянка на всіх рисунках характеризується динамічною рівновагою між процесами розмноження і анігіляції дефектів з утворенням мікропар і мікротріщин в поверхневих шарах металополімерних пар тертя. При цьому товщина теплового шару при великих імпульсних питомих навантаженнях в металополімерних парах тертя на один-два порядки перевищує товщину поверхневого і підповерхневого шарів їхніх елементів.

Покажемо як впливають вказані вище три ділянки, проілюстровані на рис. 4 на зміну поверхневої температури, імпульсних питомих навантажень та на роботу виходу електронів і іонів з робочих поверхонь металополімерних пар тертя. Останній параметр є визначальним і в значній мірі впливає на перших два параметри. На ділянці I (рис. 4, а) спостерігається збільшення роботи виходу як електронів, так і іонів із зростанням імпульсних питомих навантажень.

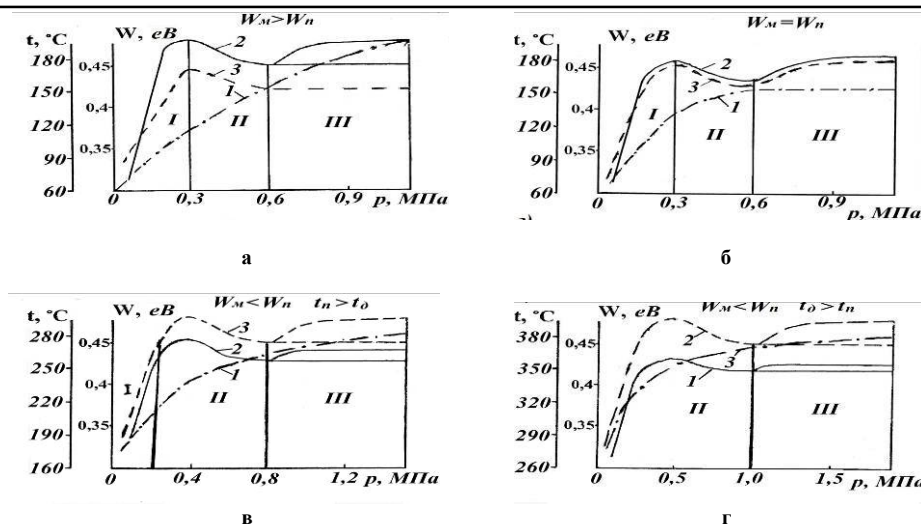


Рис. 4 – Закономірності зміни поверхневої температури (t_n , крива 1) в інтервалі температур нижче і вище допустимої (t_d) для матеріалів полімерної накладки і роботи виходу електронів (крива 2) і іонів (крива 3) з робочих поверхонь металополімерних пар тертя (W_m , W_n) від питомих навантажень (P) під час фрикційної взаємодії різних типів контактів: а – блокуючого ($W_m > W_n$); б – нейтрального ($W_m = W_n$); в, г – омічного при $t_0 < t_n$ і $t_0 > t_n$ ($W_m < W_n$); I, II, III – області деформації поверхневих шарів елементів тертя: пружного і пластичного

В результаті змін, які відбуваються на робочих поверхнях металополімерних пар тертя, робота виходу електронів і іонів з поверхонь тертя зменшується (рис. 4, а). Що стосується графічних залежностей, представлених на рис. 4, в, г, то наявність рідкої фази викликає збільшення питомих навантажень в парах тертя. Робота виходу іонів на них більше роботи виходу електронів у зв'язку з ефектом спорідненості до електрона (перетворення електронів в іони).

Як видно з рис. 4, а, б, в, г поверхнева температура монотонно збільшується в даному діапазоні імпульсних питомих навантажень, не має екстремумів і корелюється з роботою виходу електронів і іонів. Проте на III-х ділянках (рис. 4, б, г) при $W_m = W_n$ і $W_m < W_n$ в інтервалі температур, відповідно, нижче і вище за допустиму для матеріалів полімерної накладки, мали місце постійна температура і термостабільність температура. Перша виникає тоді, коли незначна кількість теплоти, яка генерується на поверхнях тертя від матових поверхонь металевого фрикційного елементу відводиться в оточуюче середовище. Термостабілізаційний стан металевого фрикційного елементу настає на тривалий час тоді, коли градієнт температури за товщиною його полірованій поверхні є мінімальним.

Енергонавантаженість дискретного контакту мікровиступів металополімерних пар тертя трибосистем

Енергонавантаженість дискретного контакту мікровиступів металополімерних пар тертя трибосистем можливо дослідити за зміною динамічного коефіцієнта тертя від поверхневої температури металополімерного трибоспряження. Відомо, що динамічний коефіцієнт тертя характеризує силове відношення імпульсної сили тертя між плямами контактів мікровиступів до імпульсної нормальної сили їхньої взаємодії. Вказані силові параметри залежать не тільки від поверхневої температури полімерної накладки, але і від того в якій фазі знаходиться її поверхневий і підповерхневий шари.

У табл. 1 приведена енергонавантаженість дискретного контакту мікровиступів металополімерних пар тертя трибосистем з урахуванням характеристик фрикційної взаємодії залежно від стану поверхневого і підповерхневого шарів металополімерних пар тертя за наявності подвійних електричних шарів і циркуляції струмів (електричного, теплового і омиваючого середовища), і дослідження залежності динамічного коефіцієнта тертя від поверхневої температури в трибоспряженні.

Основною вимогою до плям контактів мікровиступів є: малий перехідний опір, стабільність площин плям контактів і зносостійкість. Ці характеристики залежать в першу чергу від імпульсного нормального зусилля, діючого на плями контактів мікровиступів трибоспряження. Характер цих залежностей суперечливий. Так, величину перехідного опору можна спрощено записати:

$$R_{\Pi} = \frac{\alpha_k}{N^n}, \quad (1)$$

де α_k – параметр, залежний від фізико-механічних властивостей контактуючих матеріалів поверхонь плям мікровиступів трибоспряження;

n – показник ступеня, що характеризує форму і тип контакту.

Таблиця 1

Енергонавантаженість дискретного контакту мікровиступів металополімерних пар тертя трибосистем

Стан поверхневого і підповерхневого шарів накладки	Опис характеристик фрикційної взаємодії:					
	стан міжконтактного середовища поверхневого і підповерхневого шарів металополімерних пар тертя	наявність подвійних електрических шарів	циркуляція струмів:			
1	2	3	4	5	6	
Поверхнева температура нижче допустимої для матеріалів фрикційної накладки	При електротермомеханічному тертя мікровиступів металополімерних пар тертя під дією імпульсних нормальних зусиль на поверхнях плям контактів різних типів генеруються імпульсні електричні струми, які пробивають якнайтонші окисні плівки, сприяючи тим самим їх руйнуванню. Під дією всезростаючих імпульсних питомих навантажень відбувається активна деформація мікровиступів, тобто поверхневих шарів полімерних накладок і зміщення плям контактів металевого фрикційного елементу (див. рис. 5, стадію I). На цій стадії відбувається підготовка поверхневих шарів до утворення доситької кількості активних центрів, що визначають їх подальший розвиток унаслідок повзучості металу робочої поверхні металевого фрикційного елементу. При підвищенні температури плям контактів мікровиступів металополімерних пар тертя трибоспряження від 100 до 200 °C спостерігається збільшення середнього коефіцієнта тертя (від 0,39 до 0,42) [рис. 5]. При цьому електричні поля в трибоспряженні слабшають, а теплові поля – посилюються. Характеристика фрикційної теплостійкості на цій ділянці визначається в основному пружнопластичними властивостями матеріалу (перехід від пружного до пластичного контакту). На ділянці від 250 до 400 °C коефіцієнт тертя залежить від розвитку пластичних деформацій з поступовим, у міру підвищення температури, димленням зв'язуючого (смоли) фрикційних матеріалів. Кількість кисню повітря, що поступило на поверхні плям контактів трибоспряження, визначає інтенсивність термоокислювальних деструкційних процесів. Крім того, омиваюче повітря є окислювальним середовищем, що сприяє розвитку адсорбційного і щілисто-ефектів в трибоспряженні.	Виникає подвійний електричний шар, що охоплює виступи і западини мікронерівностей металевого фрикційного елементу. При цьому плями контактів мікровиступів виконують функції термоелектрогенератора, а поверхневі і підповерхневі шари полімерних накладок – термоелектрохолодильників. Бічні поверхні мікровиступів і їх западини є накопичувачами зарядів, тобто мікроконденсаторами. Інтенсивно відбувається на плямах контактів поляризаційні процеси.	Струм електризації від плям контактів мікровиступів полімерної накладки до плям контактів мікровиступів металевого фрикційного елементу.	Генерована електрична енергія перетворюється на теплову енергію і нагріває тіло металевого фрикційного елементу.	Мікровиступи пар тертя омиваються повітрям навколо-шнього середовища.	

Закінчення табл. 1

1	2	3	4	5	6
Поверхнева температура досягає допустимої для матеріалів фрикційної накладки	Електротермомеханічне тертя плям контактів мікровиступів трибоспряження відбувається при постійних імпульсних питомих навантаженнях і нейтральних контактах унаслідок повзучості поверхневих шарів пари тертя «полімер-метал». При цьому із зростанням температури процес розвитку фізичного контакту інтенсифікується і може переходити на інші енергетичні рівні, міняючи тим самим типи контактів. Крім того, фізичний контакт омічного типу здатний викликати процеси релаксацій внутрішніх термонапруженів в поверхневому шарі металевого фрикційного елементу, за рахунок поверхневого пластичного тертя (рис. 5, стадія III). Коефіцієнт тертя стабілізується і має мінімальне значення (0,18); дана зона (400-550 °C), внаслідок проходження процесів деполяризації, є область депресії, в якій фрикційні характеристики цілком визначаються дією рідких продуктів деструкції зв'язуючого компоненту (смоли). Спостерігається різке зменшення CO ₂ до 0,13 % в масових частках і з'являється H ₂ (0,123 % в масових частках) [див. табл. 2].	Існує сильний подвійний електричний шар сформований в приповерхневому шарі полімерних накладок. Подвійний електричний шар біля робочої поверхні металевого фрикційного елементу є ослабленим.	Переважаюча інверсія електрических струмів в елементах поверхонь полімерних накладок відповідно металевого фрикційного елементу.	Циркулюючі теплові струми відмінтах поверхонь металевого фрикційного елементу вузла сприяють термосхильності.	Мікровиступи трибоспряження омиваються компонентами вигорілих речовин з поверхневих шарів підповерхневих накладок.

Поверх-нева тем-пература переви-щує до-пустиму для мате-ріалів фрикцій-ної на-кладки	<p>Електротермомеханічне тертя протікає як при під-вищених, так і при знижених імпульсних питомих навантаженнях на плямах контактів мікро-виступів трибоспряження і при цьому виявляються закони несталої повзучості в умовах постійної зміни (переважно зменшення) термоанапружень в поверхневому шарі металевого фрикційного елементу (див. рис 5, стадія IV). На ділянці від 550 до 800 °C (четверта стадія) підвищення коефіцієнта тертя пояснюється утворенням коксоподібних продуктів деструкції зв'язуючого, ведучого зрештою до формування робочого шару. Останній сприяє виникненню блокуючих контактів мікровиступів трибоспряження. В п'ятій зоні (800-1000 °C) коефіцієнт тертя знов стабілізується і досягає значення 0,32. Інтенсифікуються процеси деполяризації на плямах контактів мікровиступів трибоспряження. Азот і вуглекислий газ (див. табл. 2) є нейтральними середовищами, в яких адсорбційний і щілистий ефекти вироджуються. При цьому спостерігається збільшення Н₂ до 0,171 % в масових частках і з'являється СО (0,43 % в масових частках).</p>	<p>Виникає і розвивається сильний подвійний електричний шар в підповерхневих шарах полімерних накладок і рхонь плям мікроровиступів металевого елементу внаслідок його нагрівання. Приповерхневі шари накладок. Слабка інверсія прямих струмів, оскільки зароджується зворотні струми.</p>	<p>Переважає інверсія електричних струмів від повеніх накладок і рхонь плям мікроровиступів металевого елементу внаслідок його нагрівання. Приповерхневі шари полімерних накладок. Слабка інверсія прямих струмів, оскільки зароджується зворотні струми.</p>	<p>На поверхні полімерної на-кладки виникають острівчики на рідини, які електропровідність і компонентом. Ця нента-підповерхневі шари формують діяльність дієві конструкційних процесів, що відбувається в підтрично-поверхневих шарах на поверхні накладок.</p>
--	---	--	---	--

Із залежності (1) випливає, що якість контакту напряму залежить від імпульсного зусилля. Результати розрахунків перехідного опору плям контактів міковиступів металополімерного трибоспряження і імпульсних питомих навантажень при рівномірному розподілі амплітуди фрикційної взаємодії проілюстровані на рис. 6. З останнього випливає, що із збільшенням імпульсних питомих навантажень на плямах контактів міковиступів трибоспряження збільшується їхній перехідний опір.

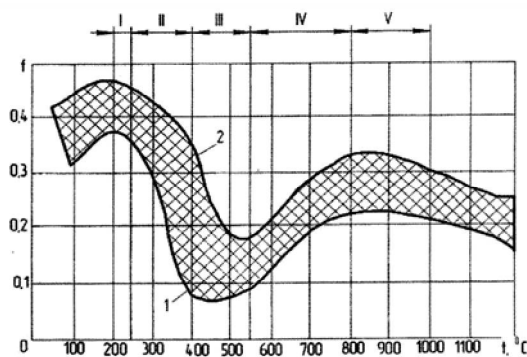


Рис. 5 – Еталонна зміна коефіцієнта тертя матеріалу «Ретинакс ФК-24А» у функції температури поверхні тертя за зонами:
I – (200-250) °C; II – (250-400) °C;
III – (400-550) °C; IV – (550-800) °C; V – (800-1000) °C

Накопичені результати дослідження зміни імпульсних питомих навантажень на плямах контактів міковиступів (рис. 7, а) встановлено, що як при імпульсному (до 0,5 с), так і при тривалому (від 0,5 до 1,0 с) інтервалі зміни питомих навантажень коливався від 0,2 до 1,0 МПа. При цьому в імпульсній зоні період був більше в 2 - 3 рази в порівнянні з тривалою зоною. Пояснюється це тим, що в імпульсній зоні має місце включення нових міковиступів у фрикційну взаємодію. В тривалій зоні має місце квазівирівнювання площ плям контактів міковиступів, що і веде до істотного зменшення періоду зміни імпульсних питомих навантажень.

Що стосується імпульсного (до 0,5 с) підведення нормального зусилля до плям контактів міковиступів, то їхній перехідний опір збільшується. При тривалому підведенні (більше 0,5 с) імпульсного нормального зусилля до плям контактів перехідний опір зменшується у зв'язку із збільшенням їхньої площі фрикційної взаємодії.

У результаті проведеного аналізу закономірностей зміни імпульсних питомих навантажень від часу їх дії на пляму kontaktів міковиступів трибоспряження з рівномірним розподілом амплітуди фрикційної взаємодії (рис. 7, а) встановлено, що як при імпульсному (до 0,5 с), так і при тривалому (від 0,5 до 1,0 с) інтервалі зміни питомих навантажень коливався від 0,2 до 1,0 МПа. При цьому в імпульсній зоні період був більше в 2 - 3 рази в порівнянні з тривалою зоною. Пояснюється це тим, що в імпульсній зоні має місце включення нових міковиступів у фрикційну взаємодію. В тривалій зоні має місце квазівирівнювання площ плям kontaktів міковиступів, що і веде до істотного зменшення періоду зміни імпульсних питомих навантажень.

Таблиця 2

Відсотковий вміст компонентів газової суміші, що утворена в міжконтактному просторі пари тертя

Номер проби	Марка компонента	Температура, °C	Вміст газу, масова частка, %						
			H ₂	O ₂	N ₂	CO ₂	CO	ΣC _n H _m	інші гази***
1	ФК-24А	150	*	19,8	78,8	0,28	*	*	
2	-	215	*	19,8	78,8	0,23	*	*	
3**	-	420	0,123	19,1	79,5	0,13	*	*	
4**	-	500	0,171	16,3	81,6	0,24	0,43	0,24	
5	-	730	0,308	9,8	81,2	0,08	6,51	1,06	Решта

- *Наявність слідів вказаних газів.
- **Відбір проб здійснюється з чотирьох зон (точок) одночасно.
- ***Під іншими газами розуміють: Ar, Ne, He, Kr, N₂O, Xe, O₂, Rn.

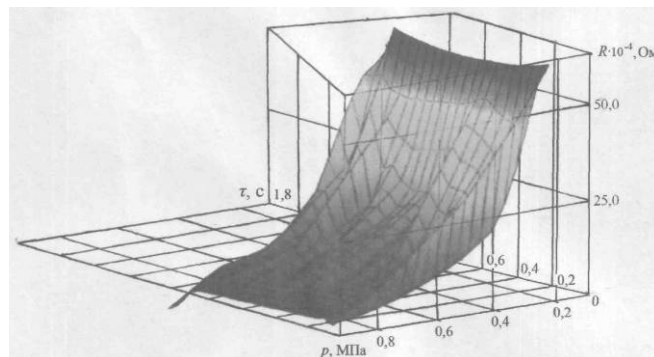


Рис. 6 – Закономірності зміни перехідного опору плям kontaktів міковиступів металополімерного трибоспряження та імпульсних питомих навантажень при рівномірному розподілі амплітуди фрикційної взаємодії

Що стосується закономірностей зміни перехідного опору плям kontaktів міковиступів трибоспряження при імпульсній і тривалій фрикційної взаємодії (рис. 7, б), то його сплески спостерігаються при величинах (від 0,35 до 0,67)·10⁻⁴ Ом. При тривалій фрикційній взаємодії плям kontaktів міковиступів

трибоспряження величини перехідного опору зміщені в інтервал їх зміни, в основному, (від 10,0 до $30,0 \cdot 10^4$ Ом). При цьому період тривалої фрикційної взаємодії контактного опору на плямах мікровиступів помітно знижується.

Таким чином, зміна величини перехідного опору на плямах контактів мікровиступів трибоспряження має аперіодичний характер, що сприяє виникненню флюктуації генерованого електричного струму і, отже, наведене поле відрізняється від первинного. Крім того, при цьому можливе посилення електричного поля в 3-5 разів від первинного.

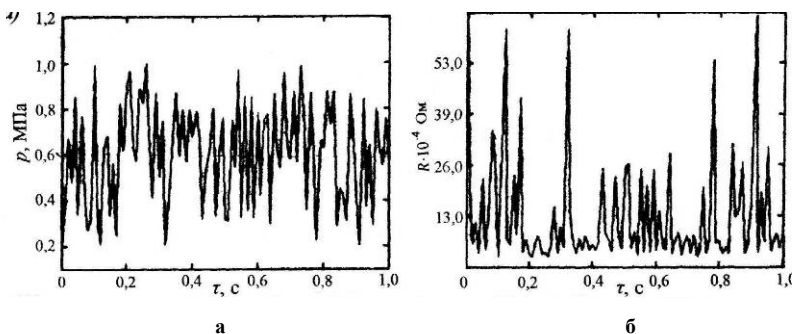


Рис. 7 – Закономірності зміни від часу імпульсних питомих навантажень, що діють на плями контактів мікровиступів металополімерного трибоспряження з рівномірним розподілом амплітуди фрикційної взаємодії (а) та закономірності зміни перехідного опору при даній взаємодії (б)

Висновки

Таким чином, оцінена енергонавантаженість плям контактів мікровиступів металополімерного трибоспряження під час електротермомеханічної імпульсної фрикційної взаємодії на мікро- і нанорівнях енергетичних зон.

Література

1. Трение, износ и смазка (трибология и триботехника) / А.В. Чичинадзе, Э.Д. Берлиндер, Э.Д. Браун и др. Под. общ. ред. А.В. Чичинадзе. – М.: Машиностроение, 2003. – 576 с.
2. Мамедов Р.К. Контакты металл-полупроводник с электрическим полем пятен / Р.К. Мамедов. – Баку: Госуниверситет, 2013. – 231 с.
3. Ленточно-колодочные тормозные устройства. [Монография] / Н.А. Вольченко, Д.А. Вольченко, С.И. Криштопа, Д.Ю. Журавлев, А.В. Возный. – Кубанск. государств. технолог. ун-т. и Прикарпатск. национальн. ун-т им. В. Стефаника, 2013. – 441 с.
4. Криштопа С. І. Вплив електричних і теплових полів на динамічний коефі-цієнт тертя в барабанно-колодкових гальмах автотранспортних засобів з термоелектричним охолодженням / С. І. Криштопа // Матеріали VI-ї міжнародної науково-технічної конференції «Сучасні технології та перспективи розвитку автомобільного транспорту». – Вінниця: Вінницький національний технічний університет, 2013. – С. 26-27.
5. Криштопа С. І. Електротермостимульована деполяризація взаємодіючих ділянок металополімерних пар тертя стрічково-колодкового гальма бурової лебідки (частина 1) / С. І. Криштопа // Нафтогазова енергетика. – Івано-Франківськ, 2012. – № 2 (18). – С. 46-54.
6. Термоелектрична поляризація поверхонь фрикційних накладок гальмівних пристройів / С. І. Криштопа // Розвідка та розробка наftovих і газових родовищ. – Івано-Франківськ, 2013. – № 1 (46). – С. 50-57.
7. Криштопа С. І. Принцип суперпозиции в паре «генерирование – сток» теплоты энергонагруженности ее поверхностных слоев в барабанно-колодочном тормозе автотранспортного средства / С. І. Криштопа // Вісник Східноукраїнського національного університету імені Володимира Даля – Луганськ: СНУ, 2013. – № 15 (204) – С. 118-124.
8. Криштопа С. І. Контактно-импульсное взаимодействие различных типов контактов в металло полимерных парах трения ленточно-колодочного тормоза буровой лебедки / С. И. Криштопа // Вестник Азербайджанской инженерной академии. – Баку, 2013. – Том 5, № 3. – С. 38-49.
9. Вольченко О. І. Електродинамічні процеси та їхній вплив на зносо-фрикційні властивості металополімерних пар тертя гальмівних приладів / О. І. Вольченко, С. І. Криштопа, В. І. Карась // Зб. наук. пр. СевНТУ. – Севастополь, 2012. – Вип. 135. – С. 237-240.

Поступила в редакцію 29.12.2014

Kryshtopa S.I. Estimation of energy loading of contacts spots of micro ledges of metal polymer friction pairs of tribology system.

The specific of polymeric materials consists in that their work in tribological interfaces is accompanied by the processes of tribological electrification, diffusions, and also destructions with formation of different phases which going back into the premieres being have other power levels of superficial and subsuperficial layers. It is known that friction pairs have a «polymer-metal» different energy loading at friction co-operation of tribological interfaces. Superficial and subsuperficial the layers of polymeric protective strap are the stores of charges, a volume and properties of which change depending on their energy loading. The last largely affects mechanical, electric and thermal the fields. In the given publication there are the considered following questions in relation to the given problem: internal and external parameters in the power fields of metal polymer were determined by friction pairs at tribology system; work of electron output and ions from the surfaces of friction metal polymer tribological interfaces was explored; it was determined by energy loading discrete contact of micro ledges of metal polymer friction pairs of tribosystem; method of estimation of energy loading of contacts spots of micro ledges of metal polymer friction pairs of tribosystem at micro- and nano- levels was grounded.

Keywords: metal polymer friction pairs, tribological interfaces, tribosystem, power levels, spot of contact of micro ledges, superficial and subsuperficial layers, work of electron output and ions

References

1. Friction, Wearing out & greasing (Tribology and Tribotechnic). A.V. Chichinadze, Ә.D. Berlinder, Ә.D. Braoun ect. By general edition of A.V. Chichinadze. M. Mashinostroenie, 2003. 576 p.
2. Mamedov R.C. Contacts of metal-conduction with electric field of spots. Baku: Gosouniversitet, 2013. 231 p.
3. Band-block brakes of friction devises. [Monografiya]. N.A. Volchenko, D.A. Volchenko, S.I. Kryshtopa, D.Yo. Zhuravlev, A.V. Vozny. Kubansc. gosoudarstv. technologist. university. and Pricarpatsc. nationa university by V. Stefanica, 2013. 441 p.
4. Kryshtopa S. I. Influence of electric and thermal fields on dynamic friction coefficient in the drum-block brakes of vehicles with the thermo-electric cooling. Materials of the VI-th international scientific and technical conference are «Modern technologies and prospects of development of motor transport». – Vinnytsia: Vinnytsia national technical university, 2013. P. 26-27.
5. Kryshtopa S. I. Electro thermo stimulation depolarization of interactive areas of metal polymer friction pairs of band-block brake of drilling hoist (part 1). Oil and gas energy. Ivano-Frankivs'k, 2012. № 2 (18). P. 46-54.
6. Thermo-electric polarization of surfaces of friction protective straps of brake devices. S. I. Kryshtopa. secret Service and development of oil and gas deposits. Ivano-Frankivs'k, 2013. № 1 (46). P. 50-57.
7. Kryshtopa S. I. Principe of superposition in pare «generation – stock» of thermal energy loading of its superficial layers in drum- block brakes motor transport vehicles. Announcer of the East Ukrainian national university of the by V. Dall' – Lugansk: SLEEP, 2013. № 15 (204). P. 118-124.
8. Kryshtopa S. I. Contac-impulses co-operation of different types of contacts in the metal polymer friction pairs of band-block brake of drilling hoist. Announcer of Azerbaijan engineering academia. Baku, 2013. Tom 5 № 3. P. 38-49.
9. Volchenko O. Electrodynamics' processes and their influence on wearing out properties of metal polymer friction of brake devices. A. I. Volchenko, S. I. Kryshtopa, V. I. Caras. Coll. Of sciences. works SevSTU. Sevastopol, 2012. V. 135. P. 237-240.